

# بررسی اثر هیبریداسیون الیاف بر پاسخ دینامیکی توزیع تنش در تک‌لایه‌های مرکب تحت ترک

محمد شیشه‌ساز<sup>۱</sup>، عرفان میرشکاری<sup>۲</sup>

گروه مهندسی مکانیک، دانشگاه شهید چمران اهواز

دانشگاه آزاد اسلامی اهواز

تاریخ دریافت مقاله: ۱۳۹۰/۱۰/۰۶

تاریخ ارزیابی نهایی: ۱۳۹۱/۰۵/۰۹

## چکیده

در کار حاضر توزیع تنش گذرا در تک‌لایه هیبرید با ابعاد محدود، تحت اثر ترک از لحظه‌ی گسسته شدن الیاف تا رسیدن به حالت تعادل، بررسی شده است. فرض بر آن است که کلیه الیاف هم‌جهت و بار اعمال شده بر ماده مرکب به صورت کششی و در راستای الیاف می‌باشد و ترک در میانه‌ی تک‌لایه ایجاد می‌شود. معادلات دیفرانسیلی جابجایی گذرای الیاف به کمک تئوری شیرلگ استخراج می‌گردند. به منظور حل معادلات تفاضلی - دیفرانسیلی استخراج شده، از روش تفاضل محدود استفاده می‌شود. نتایج به دست آمده، اثر هیبریداسیون، جرم و مدول کشسانی الیاف و اندازه ترک را بر پاسخ دینامیکی توزیع تنش نشان می‌دهند. مقادیر گذرای ضریب تمرکز تنش استخراج شده در این تحقیق برای تک‌لایه ساده تحت ترکی تا سه رشته<sup>۱</sup> گسسته شده با نتایج به دست آمده از روش تحلیلی انطباق کامل دارند.

## کلیدواژه:

تک‌لایه هیبرید، توزیع تنش گذرا، ضریب تمرکز تنش دینامیکی، فراجش دینامیکی.

## مقدمه

عبارت هیبرید عموماً برای توصیف مواد مرکبی استفاده می‌شود که بیش از یک نوع رشته در یک زمینه مشترک قرار گیرند. با هیبرید نمودن الیاف، خواص مکانیکی نسبت به حالت ساده بهبود یافته و وزن و هزینه‌های ساخت مواد تغییر می‌یابد. از جمله این مواد مرکب می‌توان به تک‌لایه‌ی هیبریدی اشاره نمود که در آن الیاف با خواص مکانیکی متفاوت به صورت یک در میان در زمینه قرار گرفته‌اند. به دلیل کاربرد وسیع مواد مرکب در صنایع مختلف از جمله صنایع هوایی، مطالعه‌ی رفتار این مواد به خصوص در مواجهه با نقایصی مانند سوراخ و ترک از اهمیت بالایی برخوردار بوده ولی خواص ناهمگن و غیرایزوتروپیک مواد مرکب، تحلیل رفتار مکانیکی آن‌ها را دشوار می‌سازد. از این رو تحلیل جنبه‌های مختلف رفتار مکانیکی مواد مرکب ضروری به نظر می‌رسد.

هاچپس<sup>۱</sup> [۱]، از اولین کسانی بود که از مدل شیرلگ<sup>۳</sup> جهت بررسی رفتار مکانیکی مواد مرکب استفاده نمود. در این مدل فرض بر آن است که الیاف فقط بار کششی را تحمل نموده و

زمینه<sup>۴</sup> فقط تحت بارهای برشی قرار می‌گیرد. فرض شده است که طول و عرض تک‌لایه بی‌نهایت و میان رشته و زمینه پیوند کامل برقرار است و رشته و زمینه تا نقطه‌ی شکست رفتار الاستیک خطی دارند. در این مرجع ضریب تمرکز تنش استاتیکی در نوک ترک (که در آن بیشترین تمرکز تنش رخ می‌دهد) به دست آمده است.

زندر<sup>۵</sup> و دیتون<sup>۶</sup> [۲]، با انجام آزمایش‌هایی بر روی مواد مرکب با رشته داکرون و زمینه پلی‌اورتان صحت روش هاچپس را نشان دادند. هاچپس و ون‌دایک<sup>۷</sup> [۳]، توزیع تنش و تمرکز تنش را در چندلایه‌هایی با آرایش الیاف مربعی و شش‌گوش با طول و عرض بی‌نهایت و با تعداد معین الیاف شکسته شده بدست آوردند. آن‌ها برای استخراج معادلات از مدل شیرلگ استفاده نموده و آرایش الیاف شکسته شده را بصورت مربعی و دایره‌ای در نظر گرفتند.

فوکودا<sup>۸</sup> و چائو<sup>۹</sup> [۴]، با اصلاح مدل شیرلگ، توزیع تنش را در یک ماده‌ی مرکب تک‌لایه‌ی هیبریدی با الیاف ناپیوسته در حالت شکست متقارن الیاف بررسی نمودند. آن‌ها تمرکز تنش را در دو نوع رشته با مدول بالا و مدول پایین به دست آوردند.

لندیس<sup>۱۰</sup> و همکاران [۵]، تمرکز تنش در چندلایه‌هایی با

۱. استاد mshishehsaz@scu.ac.ir

۲. مربی erfana.mirshकारी@iauhvaz.ac.ir

آرایش الیاف مربعی و شش ضلعی با طول و عرض بی نهایت را بدست آوردند. روش به کار رفته نوعی روش شیرلنگ بهبود یافته بود که در آن زمینه به صورت المان های سه بعدی مدل می شد به قسمی که جابجایی های گره های المان، جابجایی های الیاف قرار گرفته در اطراف زمینه می باشد. نتایج بدست آمده از روش شیرلنگ با روش اجزاء محدود مقایسه شده است. لندیس و مک مکینگ [6]، با استفاده از مدلی مشابه با مدل شیرلنگ تنش در ماده ی مرکبی با یک رشته شکسته را تحلیل نمودند. در این تحقیق رفتار زمینه الاستیک - پلاستیک کامل در نظر گرفته شده است.

شیشه ساز [7]، اثر کشش زمینه بر توزیع تنش در رشته و همچنین اثر گسیختگی زمینه بر ماده ی مرکب هیبریدی را بررسی نمود. شیشه ساز، توزیع تنش را در یک تک لایه ی مرکب هیبریدی با عرض محدود در دو حالت رشته کوتاه و رشته بلند و زمینه اطراف آن ها بررسی کرد. در این مرجع توزیع تنش در اطراف دو ترک که با فاصله از یکدیگر قرار گرفته اند، محاسبه شده است.

در همین زمان، بعضی نویسندگان، روش های عددی به خصوص روش تفاضل محدود را جهت درک رفتار دینامیکی مواد مرکب به کار بردند [9-10]. به نظر می رسد تنها کار انجام شده برای به دست آوردن توزیع تمرکز تنش گذرا در یک ماده ی مرکب، تحقیق هاچیس در مرجع [11] است. در این کار تمرکز تنش گذرا برای تک لایه با ابعاد نامحدود تحت اثر حداکثر سه رشته ی شکسته شده، به کمک توابع مختلط، به دست آمده است. هاچیس با لاپلاس گیری نسبت به متغیر زمان از معادلات حرکت دینامیکی الیاف، روابطی شبیه به معادلات دیفرانسیلی استاتیکی به دست آورد و از حلی مشابه حالت استاتیکی برای حالت دینامیکی استفاده نمود. وی به علت پیچیدگی حل نتوانست معادلات را برای بیشتر از سه رشته ی شکسته شده حل نماید.

در کار حاضر، توزیع تنش گذرا در تک لایه ای هیبرید از لحظه ی شکست الیاف تا زمان رسیدن به حالت تعادل استاتیکی به دست آمده است. اثر اندازه ترک، و هیبریداسیون الیاف و نیز تاثیر ناشی از دینامیک شکست الیاف بر توزیع و ضریب تمرکز تنش در تک لایه هیبرید بررسی شده است.

### استخراج معادلات دیفرانسیل

ابعاد ماده مرکب مورد بررسی، محدود و بار اعمال شده در جهت الیاف در نظر گرفته می شود. فرض شده است الیاف همراستا و موازی بوده و بار کششی اعمال شده بر آن در راستای الیاف می باشد و ماتریس تنها بارهای برشی را تحمل می کند. این فرض

برای بیشتر مواد مرکب با ماتریس ضعیف مناسب است. برای نوشتن روابط، فرضیات اضافه زیر در نظر گرفته شده است:

- میان هر رشته و ماتریس های مجاور آن پیوند کامل برقرار است.
- رشته و ماتریس تا نقطه ی شکست دارای رفتار الاستیک خطی هستند.
- رشته و ماتریس همگن فرض می شوند.
- سطح مقطع الیاف به صورت مربع در نظر گرفته می شود، البته باید مساحت سطح مقطع، برابر با حالت دایره ای در نظر گرفته شود.

شکل 1، سطح مقطع الیاف را در تک لایه هیبرید نشان می دهد. برای نوشتن معادله ی حرکت در هر رشته، از نماد LM برای مشخص نمودن رشته با مدول کششی پایین تر و HM برای نمایش رشته با مدول کششی بالاتر استفاده می شود.  $n$  شماره ی رشته، بدون نظر گرفتن نوع آن است. برای مشخص کردن الیاف با مدول پایین تر، از علامت \* استفاده می شود.

مقدار تنش عمودی برای رشته  $n$ ام با مدول پایین (LM) از رابطه ی زیر به دست می آید:

$$\sigma_n^* = E_f^* \varepsilon_n^* = E_f^* \frac{du_n^*}{dx} \quad (1)$$

با استفاده از رابطه ی فوق، نیروی اعمال شده بر هر رشته LM برابر است با:

$$P_n^* = E_f^* A_f^* \frac{du_n^*}{dx} \quad (2)$$

در جایی که  $u_n^*$  و  $P_n^*$  به ترتیب جابجایی و بار در رشته شماره ی  $n$  و  $E_f^* A_f^*$  سفتی کششی رشته LM است. تنش برشی در زمینه به صورت زیر بیان می شود:

$$\tau_{xy} = G \left( \frac{\partial u}{\partial y} + \frac{\partial v}{\partial x} \right) \quad (3)$$

که در آن  $G$  مدول برشی زمینه است. با این فرض که جابجایی عرضی زمینه ( $v$ ) تابعی از  $x$  نباشد، عبارت تنش برشی به صورت زیر است:

$$\tau_{xy} = G (\delta u / \delta y) = G \frac{du}{dy} \quad (4)$$

نمایش تفاضل محدود تنش برشی در زمینه بر حسب جابجایی الیاف بالا و پایین، و فاصله ی بین آن ها ( $d$ ) به صورت زیر می باشد:

$$L = \begin{bmatrix} 1 & -1 & 0 & 0 & \dots & 0 & 0 & 0 & 0 \\ -1 & 2 & -1 & 0 & \dots & 0 & 0 & 0 & 0 \\ 0 & -1 & 2 & -1 & \dots & 0 & 0 & 0 & 0 \\ \vdots & \vdots & \vdots & \vdots & \dots & \vdots & \vdots & \vdots & \vdots \\ 0 & 0 & 0 & 0 & \dots & -1 & 2 & -1 & 0 \\ 0 & 0 & 0 & 0 & \dots & 0 & -1 & 2 & -1 \\ 0 & 0 & 0 & 0 & \dots & 0 & 0 & -1 & 1 \end{bmatrix}_{(N \times N)} \quad (14)$$

$$m = \begin{bmatrix} m & 0 & 0 & 0 & \dots & 0 & 0 & 0 & 0 \\ 0 & m^* & 0 & 0 & \dots & 0 & 0 & 0 & 0 \\ 0 & 0 & m & 0 & \dots & 0 & 0 & 0 & 0 \\ \vdots & \vdots & \vdots & \vdots & \dots & \vdots & \vdots & \vdots & \vdots \\ 0 & 0 & 0 & 0 & \dots & m & 0 & 0 & 0 \\ 0 & 0 & 0 & 0 & \dots & 0 & m^* & 0 & 0 \\ 0 & 0 & 0 & 0 & \dots & 0 & 0 & 0 & m \end{bmatrix}_{(N \times N)} \quad (15)$$

$$e = \begin{bmatrix} E_f A_f & 0 & 0 & \dots & 0 & 0 & 0 & 0 & 0 \\ 0 & E_f^* A_f^* & 0 & \dots & 0 & 0 & 0 & 0 & 0 \\ 0 & 0 & E_f A_f & \dots & 0 & 0 & 0 & 0 & 0 \\ \vdots & \vdots & \vdots & \vdots & \dots & \vdots & \vdots & \vdots & \vdots \\ 0 & 0 & 0 & \dots & E_f A_f & 0 & 0 & 0 & 0 \\ 0 & 0 & 0 & \dots & 0 & E_f^* A_f^* & 0 & 0 & 0 \\ 0 & 0 & 0 & \dots & 0 & 0 & 0 & 0 & E_f A_f \end{bmatrix}_{(N \times N)} \quad (16)$$

ملاحظه می‌شود در صورتی که الیاف LM در لبه‌ها قرار گرفته باشند، می‌توان با جابجایی درایه‌های ماتریس‌های  $m$  و  $e$  معادله دیفرانسیل جابجایی الیاف را به دست آورد.

### شرایط اولیه و شرایط مرزی

همان‌طور که در شکل ۳ ملاحظه می‌شود گسستگی الیاف در وسط تک‌لایه ( $x=0$ ) رخ داده و ترک از رشته‌ی شماره‌ی  $f$  ام آغاز شده و شامل  $r$  رشته گسسته شده می‌باشد.

شرایط اولیه، شرایط تک‌لایه در لحظه‌ی ایجاد ترک است. قبل از پاره شدن الیاف بار اعمال شده در امتداد طول هر رشته برابر با  $p$  (بار کششی اعمال شده بر هر رشته‌ی چندلایه دور از ترک) است:

$$p_n(x, 0) = p \quad (17)$$

شرط اولیه‌ی بعدی، مربوط به لحظه‌ی گسستن الیاف است. در این لحظه هر رشته در حالت سکون قرار داشته و سرعت لحظه‌ای آن برابر صفر است؛ به عبارت دیگر:

$$\frac{\partial u_n}{\partial t}(x, 0) = 0 \quad (18)$$

شرایط مرزی مربوط به زمان پس از گسسته شدن الیاف است. در این حالت در  $x=0$  جابجایی در الیاف سالم و نیروی کششی

$$(\tau_{xy})_{n+1,n} = G(\gamma_{xy})_{n+1,n} = G \frac{u_{n+1}^* - u_n^*}{d} \quad (5)$$

$$(\tau_{xy})_{n,n-1} = G(\gamma_{xy})_{n,n-1} = G \frac{u_n^* - u_{n-1}^*}{d} \quad (6)$$

با استفاده از فرضیه‌ی شیرلنگ و با توجه به شکل ۲ معادله‌ی حرکت برای  $n$ امین رشته LM به شرح زیر است.

$$\frac{\partial p_n^*}{\partial x} dx + \{(\tau_{xy})_{n+1,n} - (\tau_{xy})_{n,n-1}\} h dx = (m^* \cdot dx) \frac{\partial^2 u_n^*}{\partial t^2} \quad (7)$$

در این رابطه  $h$  ضخامت تک‌لایه،  $m^*$  جرم بر واحد طول رشته‌ی LM و  $\tau_{xy}$  تنش برشی بین رشته‌ی  $n$ ام و هر یک از الیاف کناری در تک‌لایه است. با جایگزینی روابط ۲، ۵ و ۶ در رابطه‌ی ۷، معادله حرکت برای الیاف LM به صورت زیر نوشته می‌شود:

$$E_f^* A_f^* \frac{\partial^2 u_n^*}{\partial x^2} + \frac{Gh}{d} (u_{n+1}^* - 2u_n^* + u_{n-1}^*) = m^* \frac{\partial^2 u_n^*}{\partial t^2} \quad (8)$$

با طی نمودن روندی مشابه برای الیاف HM، معادله دیفرانسیل جابجایی برای این الیاف (به جز الیاف قرار گرفته در لبه‌های تک‌لایه) به صورت زیر است:

$$E_f A_f \frac{\partial^2 u_n}{\partial x^2} + \frac{Gh}{d} (u_n^* - 2u_n + u_{n-1}^*) = m \frac{\partial^2 u_n}{\partial t^2} \quad (9)$$

تنش برشی در لبه‌های آزاد تک‌لایه برابر صفر است. به همین دلیل معادله‌ی تعادل برای الیاف قرار گرفته در لبه‌های تک‌لایه متفاوت است. ضمن احتساب این مطلب و با این فرض که الیاف HM در لبه‌های تک‌لایه قرار گرفته‌اند، معادله‌ی تعادل برای کل تک‌لایه به صورت ماتریسی برابر است با:

$$eu'' - \frac{Gh}{d} Lu = m\ddot{u} \quad (10)$$

در جایی که:

$$u^T = [u_1, u_1^*, u_1, \dots, u_{N-2}, u_{N-2}^*, u_N] \quad (11)$$

$$u^{*T} = [u_1'', u_1'', u_1'', \dots, u_{N-2}'', u_{N-2}'', u_N''] \quad (12)$$

$$\ddot{u}^T = [\ddot{u}_1, \ddot{u}_1^*, \ddot{u}_1, \dots, \ddot{u}_{N-2}, \ddot{u}_{N-2}^*, \ddot{u}_N] \quad (13)$$

در این روابط  $N$  تعداد الیاف در تک‌لایه است. ماتریس‌های  $e$  و  $m$  به صورت زیر می‌باشند:

$$\ddot{U}^T = [\ddot{U}_1, \ddot{U}_\tau^*, \ddot{U}_\tau, \dots, \ddot{U}_{N-\tau}, \ddot{U}_{N-1}^*, \ddot{U}_N] \quad (33)$$

$$M = \begin{bmatrix} 1 & \dots & \dots & \dots & \dots & \dots & \dots & \dots & \dots & \dots & \dots \\ \dots & Q & \dots & \dots & \dots & \dots & \dots & \dots & \dots & \dots & \dots \\ \dots & \dots & 1 & \dots & \dots & \dots & \dots & \dots & \dots & \dots & \dots \\ \vdots & \vdots & \vdots & \vdots & \dots & \vdots & \vdots & \vdots & \vdots & \vdots & \vdots \\ \dots & \dots & \dots & \dots & \dots & 1 & \dots & \dots & \dots & \dots & \dots \\ \dots & \dots & \dots & \dots & \dots & \dots & Q & \dots & \dots & \dots & \dots \\ \dots & \dots & \dots & \dots & \dots & \dots & \dots & \dots & \dots & \dots & 1 \end{bmatrix}_{(N \times N)} \quad (34)$$

$$E = \begin{bmatrix} 1 & \dots & \dots & \dots & \dots & \dots & \dots & \dots & \dots & \dots & \dots \\ \dots & R & \dots & \dots & \dots & \dots & \dots & \dots & \dots & \dots & \dots \\ \dots & \dots & 1 & \dots & \dots & \dots & \dots & \dots & \dots & \dots & \dots \\ \vdots & \vdots & \vdots & \vdots & \dots & \vdots & \vdots & \vdots & \vdots & \vdots & \vdots \\ \dots & \dots & \dots & \dots & \dots & 1 & \dots & \dots & \dots & \dots & \dots \\ \dots & \dots & \dots & \dots & \dots & \dots & R & \dots & \dots & \dots & \dots \\ \dots & \dots & \dots & \dots & \dots & \dots & \dots & \dots & \dots & \dots & 1 \end{bmatrix}_{(N \times N)} \quad (35)$$

شرایط اولیه بدون بعد (بدون در نظر گرفتن نوع الیاف) به شرح زیر می‌باشند:

$$\frac{\partial U_n}{\partial \tau}(\xi, 0) = 0 \quad (36)$$

$$P_n(\xi, 0) = \frac{\partial U_n}{\partial \xi}(\xi, 0) = 1 \quad (37)$$

شرایط مرزی بدون بعد (بدون در نظر گرفتن نوع الیاف) به صورت زیر است:

$$U_n(\cdot, \tau) = 0 \quad (n < f \quad \text{or} \quad n > f + r) \quad (38)$$

$$P_n(\cdot, \tau) = \frac{\partial U_n}{\partial \xi}(\cdot, \tau) = 0 \quad (f \leq n \leq f + r) \quad (39)$$

$$(P_n)_{\xi \rightarrow \infty} = 1 \quad (40)$$

### حل معادلات دینامیک

معادلات به دست آمده بیانگر دستگاه معادلات دینامیک تفاضلی مرتبه دوم با دو متغیر هستند. برای حل معادلات دینامیک به دست آمده از روش تفاضل محدود صریح استفاده می‌شود. در ابتدا برای حل، طول الیاف، محدود و برابر L در نظر گرفته می‌شود. به منظور به دست آوردن شکل تفاضل محدودی معادلات دینامیک، مطابق شکل ۴ هر رشته به قسمت‌های مساوی  $\Delta \xi$  تقسیم می‌شود. به قسمی که:

$$L = S_i \Delta \xi \quad (41)$$

اعمال شده بر الیاف گسسته شده، برابر با صفر است. به عبارت دیگر:

$$u_n(\cdot, t) = 0 \quad (n < f \quad \text{or} \quad n > r + f) \quad (19)$$

$$p_n(\cdot, t) = 0 \quad (f \leq n \leq r + f) \quad (20)$$

همچنین بار کششی در تمام الیاف، دور از ترک به سمت بار کششی یکنواخت p میل می‌کند. به قسمی که:

$$(p_n)_{x \rightarrow \infty} = p \quad (21)$$

### بی‌بعدسازی معادلات تعادل، شرایط اولیه و شرایط مرزی

معادلات تعادل به دست آمده با استفاده از پارامترهای  $P_n^*$ ،  $P_n$ ،  $U_n^*$ ،  $U_n$ ،  $\xi$  و  $Q$  بدون بعد می‌شوند:

$$P_n = \frac{p_n}{p} \quad (22)$$

$$P_n^* = \frac{p_n^*}{p} \quad (23)$$

$$U_n = \sqrt{\frac{E_f A_f G h}{p^* d}} u_n \quad (24)$$

$$U_n^* = \sqrt{\frac{E_f A_f G h}{p^* d}} u_n^* \quad (25)$$

$$\xi = \sqrt{\frac{G h}{E_f A_f d}} x \quad (26)$$

$$\tau = \sqrt{\frac{G h}{m d}} t \quad (27)$$

$$Q = \frac{m^*}{m} \quad (28)$$

$$R = \frac{E_f^* A_f^*}{E_f A_f} \quad (29)$$

ضمن جایگزینی پارامترهای بدون بعد در معادلات تعادل، معادلات بی‌بعد تعادل به شرح زیر به دست می‌آیند:

$$EU'' - LU = M\ddot{U} \quad (30)$$

$$U^T = [U_1, U_\tau^*, U_\tau, \dots, U_{N-\tau}, U_{N-1}^*, U_N] \quad (31)$$

$$U^{*T} = [U_1'', U_\tau^{*''}, U_\tau'', \dots, U_{N-\tau}'', U_{N-1}^{*''}, U_N''] \quad (32)$$

دو مرحله زمانی گذشته مرتبط است. برای شروع حل، جابجایی نقاط مختلف الیاف در دو مرحله‌ی زمانی اول مشخص نبوده و باید با استفاده از شرایط اولیه، آن‌ها را محاسبه نمود.

- همچنین وجود عبارت  $U_n^{i-1,j}$ ، بیان‌گر این مطلب است که جابجایی هر نقطه در طول رشته به جابجایی نقطه‌ای قبل از آن بستگی دارد. این مطلب از آن‌رو مشکل‌ساز می‌گردد که در محل ایجاد ترک، جابجایی الیاف مشخص نبوده و باید با استفاده از شرایط مرزی به دست آید.

همان‌گونه که ذکر شد جابجایی الیاف در دو مرحله‌ی اول از شرایط اولیه به دست می‌آیند. مرحله‌ی اول پیش از گسسته شدن الیاف در نظر گرفته می‌شود. در این زمان همه‌ی الیاف سالم و نیروی کششی اعمال شده بر آنها یکسان بوده و شرط اولیه‌ی ۳۷ برقرار است. مشتق اول بیان شده در این رابطه در  $j=1$  در قالب تفاضل پیشرو به صورت زیر نوشته می‌شود:

$$P_n(\xi, 0) = \frac{\partial \bar{U}_n}{\partial \xi}(\xi, 0) = \frac{\bar{U}_n^{(i+1)} - \bar{U}_n^{(i)}}{\Delta \xi} = 1 \quad (48)$$

همچنین با این فرض که تک‌لایه متقارن بوده و جابجایی وسط الیاف برابر صفر است جابجایی همه‌ی نقاط الیاف در مرحله‌ی زمانی اول در  $j=1$  (وسط الیاف) به شرح زیر می‌باشد:

$$\bar{U}_n^{(1)} = 0 \quad (49)$$

با ترکیب روابط ۴۸ و ۴۹، جابجایی در تمام قسمتهای الیاف در لحظه‌ی اول ( $j=1$ ) به صورت زیر به دست می‌آید:

$$\bar{U}_n^{(2)} = \Delta \xi, \quad \bar{U}_n^{(3)} = 2\Delta \xi, \dots, \quad (50)$$

$$\bar{U}_n^{(N)} = (S_z - 1)\Delta \xi \quad 1 \leq n \leq N$$

مرحله‌ی بعدی ( $j=2$ ) لحظه‌ی گسسته شدن الیاف است. در این مرحله با استفاده از شرط اولیه‌ی ۳۶ و نوشتن سرعت به فرم تفاضل پیشرو، جابجایی نقاط مختلف هر رشته به دست می‌آید.

$$\frac{\partial \bar{U}_n}{\partial \tau}(\xi, \Delta \tau) = \frac{\bar{U}_n^{(i,2)} - \bar{U}_n^{(i,1)}}{\Delta \tau} = 0 \quad (51)$$

در نتیجه جابجایی در مرحله‌ی دوم ( $j=2$ ) که برابر با جابجایی در مرحله‌ی اول است به دست می‌آید.

$$\bar{U}_n^{(i,2)} = \bar{U}_n^{(i,1)} \quad 1 \leq n \leq N, \quad 1 \leq i \leq S_z \quad (52)$$

در هر نقطه از الیاف در مرحله زمانی جدید ( $\bar{U}_n^{i,j+1}$ ) از معادله‌ی ۴۷ مجهولاتی وجود دارد که می‌بایست به وسیله‌ی شرایط اولیه و مرزی به دست آیند؛ این مجهولات به شرح زیر می‌باشند:

- ابتدا این که وجود  $U_n^{i,j-1}$  و  $U_n^{i,j}$  در معادله مذکور نشان می‌دهد که جابجایی هر نقطه در هر رشته با جابجایی آن نقطه در

در جایی که  $S_z$  تعداد تقسیمات رشته در جهت طول آن است. شماره‌ی هر قسمت  $i$  نامیده می‌شود به قسمی که:

$$\xi = i\Delta \xi \quad (42)$$

همچنین هر مرحله‌ی زمانی بدون بعد، از لحظه‌ی پاره شدن الیاف با نمایش داده می‌شود. در هر مرحله، زمان یاد شده در قالب بدون بعد به شرح زیر به دست می‌آید:

$$\tau = j\Delta \tau \quad (43)$$

کل زمان منظور شده بعد از گسسته شدن الیاف ( $\tau_{total}$ ) از رابطه‌ی زیر حاصل می‌شود:

$$\tau_{total} = S_z \Delta \tau \quad (44)$$

در جایی که  $S_z$  تعداد تقسیمات زمان بدون بعد می‌باشد. مشتق دوم مکانی بدون بعد در قالب تفاضل مرکزی حول نقطه‌ی  $i$ ، به صورت زیر است:

$$\frac{\partial^2 \bar{U}_n^{i,j}}{\partial \xi^2} = \frac{\bar{U}_n^{i+j} - 2\bar{U}_n^{i,j} + \bar{U}_n^{i-j}}{(\Delta \xi)^2} \quad (45)$$

$\bar{U}_n^{i,j}$  بیانگر جابجایی رشته‌ی  $m$  (بدون در نظر گرفتن نوع آن) در نقطه‌ای به فاصله‌ی  $\xi = i\Delta \xi$  از وسط رشته در زمان  $\tau = j\Delta \tau$  پس از پاره شدن الیاف است. مشتق دوم زمانی بدون بعد را می‌توان در قالب تفاضل مرکزی حول نقطه‌ی  $j$  به صورت زیر نوشت:

$$\frac{\partial^2 \bar{U}_n^{i,j}}{\partial \tau^2} = \frac{\bar{U}_n^{i,j+1} - 2\bar{U}_n^{i,j} + \bar{U}_n^{i,j-1}}{(\Delta \tau)^2} \quad (46)$$

با استفاده از روابط ۴۵، ۴۶ و ۴۷، شکل تفاضل محدودی معادله‌ی دیفرانسیل جابجایی به شکل اندیسی به صورت زیر استخراج می‌شود:

$$\bar{U}_n^{i,j+1} = \frac{(\Delta \tau)^2}{M_{n,n}} \sum_{k=1}^N \bar{L}_{n,k} \bar{U}_n^{i,j} - 2 \left( 1 - \frac{s \bar{E}_{n,n}}{M_{n,n}} \right) \bar{U}_n^{i,j} + \frac{s \bar{E}_{n,n}}{M_{n,n}} \bar{U}_n^{i+1,j} + \frac{s \bar{E}_{n,n}}{M_{n,n}} \bar{U}_n^{i-1,j} - \bar{U}_n^{i,j-1} \quad (47)$$

$s = \left( \frac{\Delta \tau}{\Delta \xi} \right)^2$

رابطه ۴۷، معادله‌ی جابجایی رشته‌ی  $m$  در فاصله‌ی بدون بعد  $\xi = i(\Delta \xi)$ ، در مرحله‌ی زمانی بدون بعد  $\tau = j(\Delta \tau)$  است.

ملاحظه می‌شود که برای شروع حل و به دست آوردن جابجایی در هر نقطه از الیاف در مرحله زمانی جدید ( $\bar{U}_n^{i,j+1}$ ) از معادله‌ی ۴۷ مجهولاتی وجود دارد که می‌بایست به وسیله‌ی شرایط اولیه و مرزی به دست آیند؛ این مجهولات به شرح زیر می‌باشند:

- ابتدا این که وجود  $U_n^{i,j-1}$  و  $U_n^{i,j}$  در معادله مذکور نشان می‌دهد که جابجایی هر نقطه در هر رشته با جابجایی آن نقطه در

جابجایی الیاف در وسط تک‌لایه (در  $\xi = 0$ ) برابر صفر است به عبارت دیگر:

$$\bar{U}_n^{(j)} = 0 \quad (3 \leq j) \quad \& \quad (n < f \text{ or } n > f+r) \quad (53)$$

برای تعیین جابجایی الیاف گسسته شده در میانه‌ی ماده‌ی مرکب (محل وقوع ترک) از شرط مرزی ۳۹ استفاده می‌شود. برای تبدیل مشتق اول در قالب تفاضل محدود، به جای استفاده از تفاضل پیشرو که خطای آن از مرتبه‌ی اول ( $\Delta \xi$ ) است از تفاضل مرکزی حول نقطه‌ی  $i=1$  استفاده می‌شود. در این صورت خطای به‌دست آمده از مرتبه‌ی  $(\Delta \xi)^2$  است:

$$P_n(\cdot, \tau) = \frac{\partial \bar{U}_n}{\partial \xi}(\cdot, \tau) = \frac{\bar{U}_n^{(\tau, j)} - \bar{U}_n^{(\tau, j-1)}}{2\Delta \xi} = 0 \quad (3 \leq j) \quad \& \quad (f \leq n \leq f+r) \quad (54)$$

در نتیجه ملاحظه می‌شود که برای الیاف گسسته شده، رابطه‌ی زیر برقرار است:

$$\bar{U}_n^{(\tau, j)} = \bar{U}_n^{(\tau, j-1)} \quad (3 \leq j) \quad \& \quad (f \leq n \leq f+r) \quad (55)$$

ضمن اعمال روابط ۵۳ و ۵۵ در معادله‌ی ۴۷، رابطه‌ی تفاضل محدودی بیان‌کننده‌ی جابجایی در  $\xi_1 = \Delta \xi$  (در نزدیکی محل وقوع ترک) به شرح زیر حاصل می‌شود:

$$\bar{U}_n^{(j+1)} = \frac{(\Delta \tau)^2}{M_{n,n}} \sum_{k=1}^N \bar{L}_{n,k} \bar{U}_k^{(j)} - \left(1 - \frac{s\bar{E}_{n,n}}{M_{n,n}}\right) \bar{U}_n^{(j)} + \frac{s\bar{E}_{n,n}}{M_{n,n}} \bar{U}_n^{(j)} - \bar{U}_n^{(j-1)} \quad (56)$$

$$(3 \leq j \leq S_r) \quad \& \quad (n < f \text{ or } n > f+r)$$

$$\bar{U}_n^{(j+1)} = \frac{(\Delta \tau)^2}{M_{n,n}} \sum_{k=1}^N \bar{L}_{n,k} \bar{U}_k^{(j)} - \left(1 - \frac{s\bar{E}_{n,n}}{2M_{n,n}}\right) \bar{U}_n^{(j)} + \frac{s\bar{E}_{n,n}}{M_{n,n}} \bar{U}_n^{(j)} - \bar{U}_n^{(j-1)} \quad (57)$$

$$(3 \leq j \leq S_r) \quad \& \quad (f \leq n \leq f+r-1)$$

با داشتن جابجایی‌ها در دو مرحله‌ی زمانی اول ( $j=1$ ) و دوم ( $j=2$ )، از روابط ۵۰ و ۵۱، از مرحله‌ی زمانی سوم ( $j=3$ ) به بعد، جابجایی نقاط مختلف الیاف تک‌لایه (به جز در وسط تک‌لایه) از رابطه‌ی ۴۷ و در وسط تک‌لایه (محل ایجاد ترک) از روابط ۵۶ و ۵۷ به‌دست می‌آید.

چون برای نوشتن شکل تفاضل محدودی مشتق مرتبه دوم از تبدیل تفاضل مرکزی استفاده شده پس خطای محاسبات از مرتبه‌ی  $(\Delta \tau)^2$ ،  $(\Delta \xi)^2$  می‌باشد. از این‌رو با بیشتر نمودن تقسیمات، خطای محاسبات کاهش یافته و پاسخی نزدیک به پاسخ دقیق بدست می‌آید. در کار حاضر  $\Delta \tau = 0.005$  و  $\Delta \xi = 0.01$  در نظر گرفته می‌شود.

### محاسبه‌ی ضریب تمرکز تنش

تمرکز تنش،  $K_r$ ، نسبت بار در اولین رشته‌ی سالم بعد از رشته‌ی پاره شده در محل ایجاد ترک، به بار در همان رشته در فاصله‌ی دور از محل وقوع ترک است. الیاف تحت کشش یکسان  $p$  قرار دارند. اندازه‌ی بی‌بعد بار،  $P$ ، یک می‌باشد، از این رو تمرکز تنش همان عبارت بی‌بعد مربوط به کشش رشته در اولین رشته‌ی سالم بعد از رشته‌ی پاره شده است:

$$K_r = P_{(f+r+1)}(0, \tau) = \frac{\partial U_{(f+r+1)}}{\partial \xi}(0, \tau) = \frac{U_{(f+r+1)}^{(2,j)} - U_{(f+r+1)}^{(1,j)}}{\Delta \xi} \quad (58)$$

حداکثر ضریب تمرکز تنش ایجاد شده در طول زمان بعد از گسسته شدن الیاف، ضریب تمرکز تنش دینامیکی ( $K_d$ ) و نسبت آن به ضریب تمرکز تنش استاتیکی ( $K_{r(\tau=\infty)}$ )، فراجاهش دینامیکی ( $\eta_r$ ) خوانده می‌شود:

$$\eta_r = \frac{K_d}{K_{r(\tau=\infty)}} \quad (59)$$

### نتایج

از آن‌جا که تحقیق حاضر، اولین کار ارائه شده در زمینه بررسی توزیع تنش گذرا در تک‌لایه هیبرید بوده و مرجعی برای مقایسه وجود ندارد، جهت تایید نتایج استخراج شده، نسبت مدول کششی و جرم بر واحد طول الیاف برابر یک قرار داده شده و نتایج تک‌لایه ساده با مرجع [۱] مقایسه می‌گردد. شکل ۵، تاثیر افزایش الیاف گسسته شده بر نمودار ضریب تمرکز تنش گذرای نوک ترک متقارن در تک‌لایه ساده را نشان می‌دهد. تک‌لایه، دارای ۲۵ رشته بوده و تحت اثر ۱ تا ۸ رشته گسسته شده در میانه‌ی خود قرار می‌گیرد. ملاحظه می‌شود که با گذشت زمان، اندازه‌ی ضریب تمرکز تنش به سمت مقادیر استاتیکی ذکر شده در مرجع [۱] همگرا می‌گردد. همچنین نمودار ضریب تمرکز تنش گذرای به‌دست آمده تا ۳ رشته گسسته شده با نتایج به‌دست آمده در مرجع [۱] انطباق کامل دارد.

مقادیر ضریب تمرکز تنش استاتیکی و دینامیکی و فراجاهش دینامیکی تا ۵ رشته گسسته شده در تک‌لایه ساده در جدول ۱ ارائه شده است.

جدول ۱. تاثیر افزایش الیاف گسسته شده بر نمودار ضریب تمرکز تنش گذرای نوک ترک متقارن در تک‌لایه‌ی ساده

$\eta_r$	$K_{r(\tau=\infty)}$	$K_d$	$r$
۱/۱۵	۱/۳۳۳	۱/۵۳۳	۱
۱/۱۹	۱/۶۰۰	۱/۹۰۶	۲
۱/۲۰	۱/۸۲۹	۲/۱۹۵	۳
۱/۲۲	۲/۰۳۲	۲/۴۸۰	۴
۱/۲۳	۲/۲۱۶	۲/۷۲۲	۵

الیاف (Q) بر نمودار ضریب تمرکز تنش گذرا در نوک ترکی با ۳ رشته‌ی گسسته شده با این فرض به دست آمده است که مدول کششی و سطح مقطع الیاف دو نوع رشته در تک‌لایه هیبرید با یکدیگر یکسان باشد ( $R=1$ ). رشته‌ی گسسته شده نوک ترک، رشته با جرم واحد طول بالاتر می‌باشد. ملاحظه می‌گردد که با بیشتر شدن اندازه Q علاوه بر افزایشی که در اندازه تمرکز تنش دینامیکی رخ می‌دهد زمان رسیدن نمودار ضریب تمرکز به حداکثر مقدار خود، بیشتر می‌شود.

تاثیر تغییر نسبت مدول کشسانی دو نوع رشته (R) بر نمودار ضریب تمرکز تنش گذرا در نوک ترکی با ۳ رشته‌ی گسسته شده در شکل ۹ با این فرض به دست آمده است که نسبت جرم بر واحد طول الیاف در تک‌لایه هیبرید با یکدیگر یکسان باشد ( $Q=1$ ). رشته‌ی گسسته شده نوک ترک، رشته با مدول کشسانی بالاتر است. ملاحظه می‌شود با کوچک‌تر شدن این نسبت، اندازه ضریب تمرکز تنش دینامیکی افزایش قابل ملاحظه‌ای می‌یابد.

### نتیجه‌گیری

بر اساس نتایج به دست آمده می‌توان دریافت که:

۱. اگر رشته‌ی سالم قرار گرفته در نوک ترک در تک‌لایه هیبرید، LM باشد اندازه ضریب تمرکز تنش دینامیکی نسبت به تک‌لایه‌ی ساده به میزان قابل ملاحظه‌ای افزایش می‌یابد. برای مثال این افزایش برای ترکی با ۵ رشته گسسته شده به میزان ۴۲٪ می‌باشد.

۲. چنانچه رشته‌ی سالم قرار گرفته در نوک ترک در تک‌لایه هیبرید از نوع HM باشد تمرکز تنش دینامیکی نسبت به حالت ساده کاهش می‌یابد. این کاهش برای ترکی با ۵ رشته‌ی گسسته شده در حدود ۱۸٪ می‌باشد.

۳. افزایش نسبت جرم بر واحد طول رشته‌ی گسسته شده در نوک ترک (در صورت ثابت ماندن نسبت مدول کشسانی دو نوع رشته) باعث افزایش ضریب تمرکز تنش دینامیکی و تاخیر در رسیدن نمودار ضریب تمرکز تنش به حداکثر مقدار خود می‌شود.

۴. افزایش مدول کشسانی رشته‌ی گسسته شده در نوک ترک (در صورت ثابت ماندن نسبت جرم بر واحد طول دو نوع رشته) باعث افزایش قابل ملاحظه ضریب تمرکز تنش دینامیکی در نوک ترک می‌گردد.

۵. با مقایسه رفتار تک‌لایه ساده و هیبرید این نتیجه مهم دریافت می‌شود که هیبریداسیون الیاف به طور کلی پاسخ دینامیکی تمرکز تنش را نامنظم‌تر نموده و زمان رسیدن الیاف گسسته شده به حالت

به منظور بررسی تاثیر هیبریداسیون الیاف بر توزیع تنش، الیافی از جنس شیشه و گرافیت با مساحت سطح مقطع یکسان در نظر گرفته می‌شود که نسبت مدول کشسانی و جرم بر واحد طول آن‌ها به ترتیب  $R=0.33$  و  $Q=1/82$  است (جدول ۲).

جدول ۲. خواص الیاف موجود در تک‌لایه‌ی هیبرید

ماده	$E_f$ (GPa)	$\rho$ (kg/m <sup>3</sup> )
گرافیت	۱۳/۸	۲۵۰
شیشه	۲۴/۴	۸۶

در شکل ۶ تاثیر افزایش الیاف گسسته شده بر نمودار ضریب تمرکز تنش گذرا در نوک ترک به قسمی به دست آمده است که الیاف سالم قرار گرفته در نوک ترک از نوع LM (الیاف شیشه) باشند. نتایج، افزایش مقدار ضریب تمرکز تنش دینامیکی و فراجش دینامیکی نسبت به تک‌لایه ساده را نشان می‌دهند.

در حالت بعدی ترک به گونه‌ای منظور می‌گردد که الیاف سالم قرار گرفته در نوک ترک، HM (الیاف گرافیت) باشند. شکل ۷، تاثیر افزایش الیاف گسسته شده بر نمودار ضریب تمرکز تنش بر حسب زمان را در این حالت نشان می‌دهد. ملاحظه می‌شود ضریب تمرکز تنش دینامیکی و فراجش دینامیکی نسبت به تک‌لایه ساده کاهش می‌یابد.

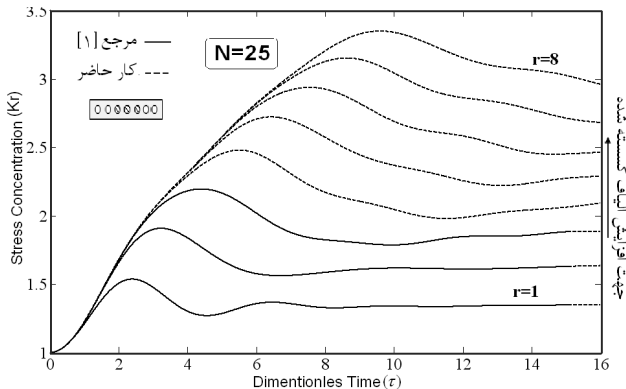
در جدول ۳، اندازه ضریب تمرکز تنش دینامیکی و فراجش دینامیکی بین تک‌لایه‌های ساده و هیبرید تحت ترک، مقایسه گردیده است.

جدول ۳. مقایسه‌ی ضریب تمرکز تنش دینامیکی و فراجش

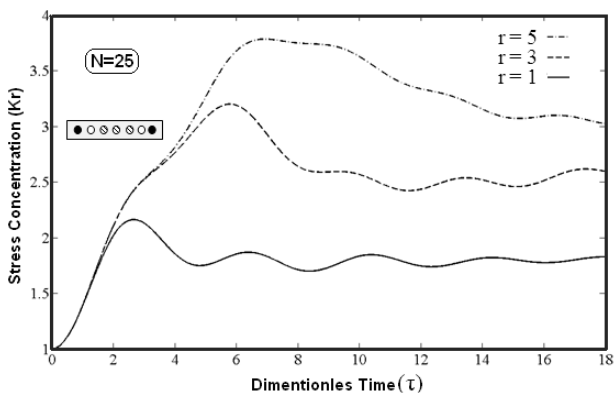
دینامیکی بین تک‌لایه ساده و هیبرید

$r$	تک‌لایه ساده		تک‌لایه هیبرید (رشته‌ی سالم LM در نوک ترک)		تک‌لایه هیبرید (رشته‌ی سالم HM در نوک ترک)	
	$\eta_r$	$K_d$	$\eta_r$	$K_d$	$\eta_r$	$K_d$
۱	۱/۱۵	۱/۵۳۳	۱/۲۱	۲/۱۶۲	۱/۰۷۸	۱/۲۲۴
۳	۱/۲۰	۲/۱۹۵	۱/۲۳	۳/۲۰	۱/۱۲۵	۱/۸۰
۵	۱/۲۳	۲/۷۲۲	۱/۲۵	۳/۸۷	۱/۱۴۶	۲/۲۳۶

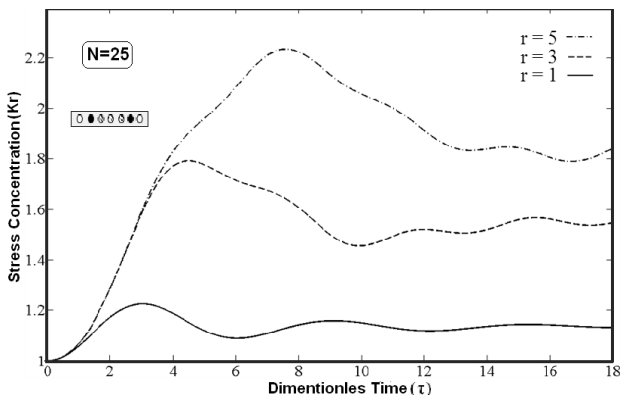
معادلات دیفرانسیل جابجایی الیاف به صورت بدون بعد استخراج گردیده و پارامترهای موثر بر نمودار ضریب تمرکز تنش گذرا، نسبت جرم بر واحد طول و نسبت مدول کشسانی دو نوع رشته می‌باشند. در شکل ۸ تاثیر افزایش نسبت جرم بر واحد طول



شکل ۵. تاثیر افزایش الیاف گسسته شده بر نمودار ضریب تمرکز تنش گذرای نوک ترک متقارن در تک لایه ی ساده



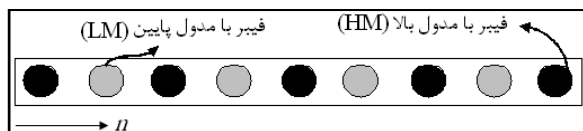
شکل ۶. تاثیر افزایش الیاف گسسته شده بر نمودار ضریب تمرکز تنش گذرای نوک ترک متقارن در تک لایه ی هیبرید (رشته ی سالم LM در نوک ترک)



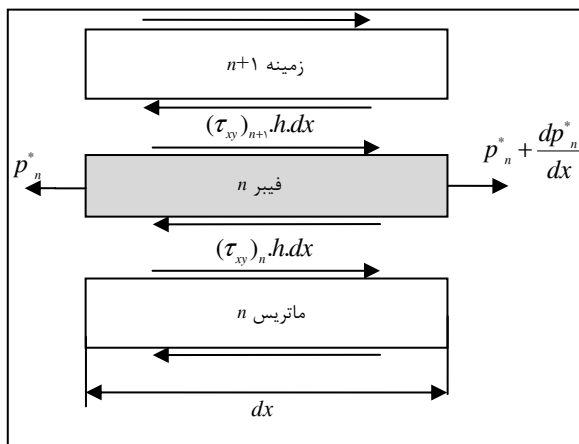
شکل ۷. تاثیر افزایش الیاف گسسته شده بر نمودار ضریب تمرکز تنش گذرای نوک ترک متقارن در تک لایه ی هیبرید (رشته ی سالم HM در نوک ترک)

تبادل استاتیکی را افزایش می دهد. این روند با افزایش الیاف گسسته شده تشدید می گردد. ۶. از مقادیر به دست آمده برای فراجش دینامیکی ملاحظه می شود که اثر دینامیکی شکست الیاف بر تمرکز تنش قابل ملاحظه است (در هر دو حالت ساده و هیبرید). با افزایش تعداد الیاف گسسته شده اندازه فراجش دینامیکی نیز افزایش می یابد.

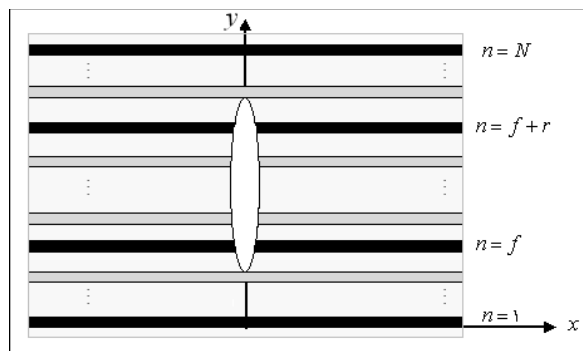
### شکل ها و نمودارها



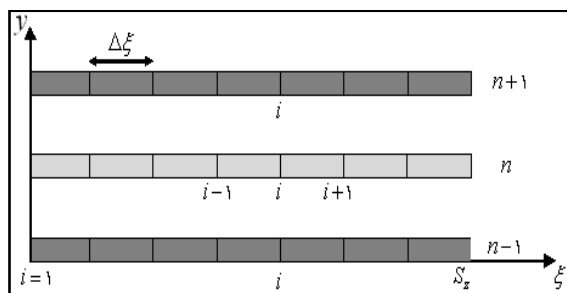
شکل ۱. سطح مقطع الیاف در تک لایه هیبرید



شکل ۲. نیروهای اعمال شده به رشته ی nم و زمینه های مجاور آن



شکل ۳. نمایش تک لایه تحت ترک (نمای بالا)



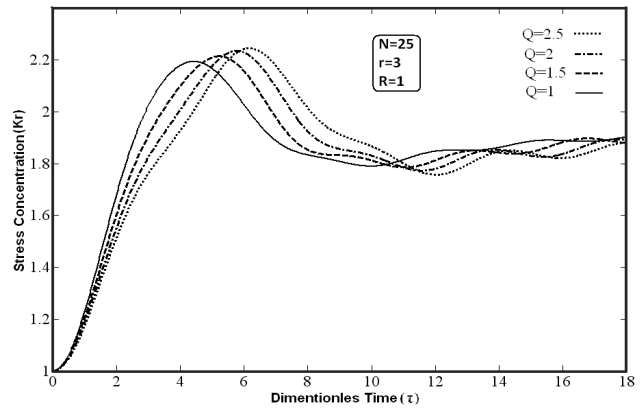
شکل ۴. تقسیم بندی الیاف در تک لایه ی هیبریدی به منظور تعیین میدان جابجایی و بار از روش تفاضل محدود



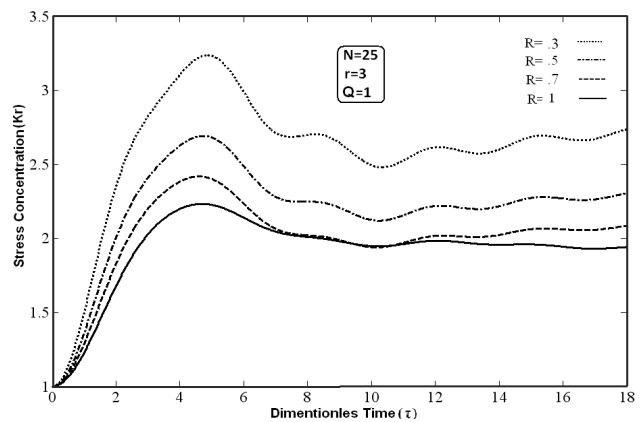
8. Fukuda
9. Chou
10. Landis
11. McMeeking

### مراجع

1. Hedgepeth, J.M., Stress concentration in a filamentary structure, NASA TND – 882, May 1961.
2. Zender, G. W., Deaton, J. W., Stress of Filamentary Sheets with one or more Fiber Broken, NASA TND – 1609, 1963.
3. Hedgepeth, J.M., Van Dyke, P., Local Stress Concentration in imperfect Filamentary Composite Materials, *Journal of Composit Material*, Vol. 1, pp. 294-309, 1967.
4. Fukuda, H., Chou, T. W., Stress Concentration in a Hybrid Composite Sheet, *Journal of Applied Mechanics*, Vol. 50, pp. 845-848, 1983
5. Landis, C. M., McGlockton, M. A., McMeeking, R. M., An Improved Shear Lag Model for Broken Fibers in Composite Materials, *Journal of Composit Material*, Vol. 33, pp. 667-680, 1999.
6. Landis, C. M., McMeeking, R. M., A Shear Lag Model for a Broken Fiber Embedded in a Composite with a Ductile Matrix, *Composite Science and Technology*, Vol. 59, pp. 447-457, 1999.
7. Shishesaz, M., The Effect of Matrix Extension on Fiber Stresses And Matrix Debonding in a Hybrid Composite Monolayer, *Iranian Journal of Science and Technology*, Vol. 25, 2001.
8. Shishesaz M., The Effect of Matrix Plasticity and Duplicate Cuts on Stress Distribution in Short and Long Fibers of a Hybrid Composite Lamina, *Iranian Journal of Science and Technology*, Vol. 25, 2005.
9. Shokrieh, M. M., Karamnejad, A., “Dynamic Response of Strain Rate Dependent Glass/Epoxy Composite Beams Using Finite Difference Method”, *Journal of Mechanical, Industrial and Aerospace Engineering*, p.p. 50-56, 2010.
10. Larom, D., Herakovich, C.T., Aboudi, J., “Dynamic response of pulse loaded laminated composite cylinders”, *International Journal of Impact Engineering*, p.p. 233-248, 1991.



شکل ۸. تاثیر افزایش نسبت جرم بر واحد طول الیاف موجود در تک‌لایه بر ضریب تمرکز تنش گذرا در نوک ترک (با فرض یکسان بودن مدول کشسانی دو نوع رشته)



شکل ۹. تاثیر تغییر نسبت مدول کشسانی الیاف موجود در تک‌لایه بر ضریب تمرکز تنش گذرا در نوک ترک (با فرض یکسان بودن جرم بر واحد طول دو نوع رشته)

### پی‌نوشت

1. Fiber
2. Hedgepeth
3. Shear lag
4. Matrix
5. Zender
6. Deaton
7. Van Dyke